

하이브리드 코팅 시스템으로 제조된 초고경도 Ti-Si-C-N 코팅막의 기계적 특성 평가

김광호[#] · 강신후¹ · 강명창²

Mechanical evaluation of superhard Ti-Si-C-N coatings prepared by a hybrid coating system

K. H. Kim, S. H. Kang, M. C. Kang

Abstract

Quaternary Ti-Si-C-N coatings were deposited on WC-Co substrates by a hybrid coating system of arc ion plating (AIP) and sputtering techniques using Ti and Si targets, in an Ar/N₂/CH₄ gaseous mixture. The crystallinity, bonding status, and microstructure of the Ti-Si-C-N coatings were measured by X-ray diffractometer (XRD) and X-ray photoelectron spectroscope (XPS). The micro-hardness of Ti(C,N) and Ti-Si-N coatings were about 30 and 40 GPa, respectively. As the Si was incorporated into Ti(C,N) coatings, the Ti-Si-C-N coatings having Si content of 8.9 at.% showed the maximum hardness value of about 55 GPa. In this work, the microstructure and mechanical properties of Ti-Si-C-N coatings were systematically investigated.

Key Words : Hybrid coating system, Ti-Si-C-N, Microstructure, Mechanical properties

1. 서 론

최근에, 3 성분계 Ti(C,N) 코팅막은 우수한 화학적, 열적 안정성으로 인한 높은 경도 때문에 현재 까지 다양한 공구 및 금형을 위한 코팅막으로 사용되고 있으며, 절삭공구, 금형, 드릴공구 등과 같은 표면 내부식성과 가공성의 증가를 위해 코팅 막분야에 광범위하게 적용되고 있다[1~2]. 대부분 Ti(C,N) 코팅막은 Arc 타겟의 Ti 소스와 직접적인 메탄(CH₄)과 질소(N₂)의 혼합된 가스들을 사용하여 증착하였고, Ti(C,N) 코팅막의 합성과 미세구조에 관한 많은 연구들이 활발히 진행되었다. 일반적으로 보고되고 있는 Ti(C,N) 코팅막이 30 GPa 정도의 높은 경도값을 가지는 이유는 탄소원자가

TiN에 고용강화 됨에 따라서 잔류응력 발생의 영향에 의해 기인된다고 알려져 있다[3]. 그러나 Ti(C,N) 코팅막은 특히 연한 모재 위에 증착될 때 분쇄경향이 나타나고, 마모시에 모재로부터 쉽게 깨어지는 매우 경한 특성을 때문에, 모재, 증착변수, 화학양론과 마모거동 등에 많은 변화가 발생한다고 보고되고 있다. 한편 경질 코팅막을 위한 Ti-Si-N 코팅막은 우수한 기계적 특성과 고온 내산화성으로 인하여 최근에 주목받으며 연구되고 있다. 특히 Ti-Si-N 코팅막은 나노크기의 TiN 결정이 비정질상의 Si₃N₄ 기지 속에 둘러싸여 있는 나노복합체의 미세구조로 인하여 40 GPa 이상의 높은 경도 값을 가지는 것으로 알려져 있다[4~5].

최근에 4 성분계 Ti-Si-C-N 코팅막은 30 GPa의

1. 서울대학교 재료공학부

2. 부산대학교 정밀 경형 및 금형가공연구소

교신저자 : 부산대학교 재료공학부,

E-mail : kwhokim@pusan.ac.kr

경도값을 갖는 Ti(C,N) 코팅막과 40 GPa 이상의 고경도를 갖는 Ti-Si-N 코팅막의 장점을 모두 지닌다고 설명되고 있다. 따라서 본 연구에서는, 아크이온 플레이팅(Arc Ion Plating)방법과 스퍼터링(DC magnetron sputtering)방법을 결합한 하이브리드(Hybrid)코팅 방법을 이용하여 Si의 첨가량에 따른 나노복합체 Ti-Si-C-N 코팅막을 WC-Co 모재 위에 증착하고, 그 미세구조의 변화와 기계적 특성에 관한 연구를 체계적으로 수행하였다.

2. 실험방법

2.1 Ti-Si-C-N 코팅막의 증착

본 연구에서는, AIP(Arc Ion Plating)방법과 마그네트론 스퍼터링(DC magnetron sputtering)방법을 결합시킨 하이브리드(Hybrid)코팅 시스템으로 WC-Co 모재 위에 코팅막을 증착하였다. Disk 형태로 제작된 WC-Co 모재를 20 분간 아세톤 및 알코올로 초음파 세정시킨 후, 증착 전 다시 bias -600V로 32 Pa의 Ar 분위기에서 15 분간 이온 세정(Ion Bombardment)을 시행하였다. 본 하이브리드 코팅 시스템을 사용한 Ti-Si-C-N 코팅막 합성의 증착 조건은 표 1에 나타내었다.

Table 1 Typical deposition conditions for Ti-Si-C-N coatings by hybrid coating system

Base pressure	7×10^{-5} Torr
Working pressure	5×10^{-4} Torr
Working gas	CH ₄ / N ₂ = 20 / 40 sccm
Arc material	Ti (99.99 %)
Sputter material	Si (99.99 %)
Arc current	60 A
Sputter current	0 ~ 2.2 A
Substrate Temperature	300 °C
Substrate bias voltage	- 60 V

2.2 Ti-Si-C-N 코팅막의 물성평가

Ti-Si-C-N 코팅막의 결정성을 확인하기 위하여 CuK_α 선을 이용한 X-선 회절 분석을 실시하였다. 코팅막내의 결정립 크기는 전계 방출형 투과 전자현미경(field emission-transmission electron microscope: FE-TEM, JEOL, JEM-2010F)으로 직접 관찰하였고, 코팅막의 다른 구조적인 정보는 제한 시야 회절 패턴(selected area diffraction pattern: SADP)과

고분해능 투과 전자 현미경법(high-resolution transmission electron microscopy: HRTEM)을 이용해 분석하였다. Ti-Si-C-N 코팅막의 화학적 결합상태를 관찰하기 위하여 X-선 광전자 분광법(X-ray photoelectron spectroscopy, VG Scientifics, ESCALAB 250, KBSI)을 사용하였다. 또한 코팅막의 미세경도는 25 g하중에서 누프 미소경도기(Knoop indenter, Matsuzawa, MMT-7)를 이용하여 측정하였다.

3. 결과 및 고찰

그림 1은 다양한 Si함량에 따른 Ti(C,N) 코팅막과 Ti-Si-C-N 코팅막의 X선 회절 패턴을 나타낸다. Ti-Si-C-N 코팅막의 회절 패턴은 TiN 결정에 carbon이 고용강화(solid solution)되어 있는 Ti(C,N) 결정이 (111), (200), (220), (311), (222) 등의 다비향성으로 성장했음을 나타낸다. 그러나, 질화규소(Si₃N₄) 결정상과 탄화규소(SiC) 결정상 및 TiSi₂ 같은 규화 티탄늄 결정상에 부합하는 XRD peak는 전혀 관측되지 않았다. 이러한 결과는 Si가 비정질상의 Si₃N₄나 SiC로 존재하는 것을 설명하는데 적용될 수 있다. Ti(C,N) 코팅막에 Si가 첨가될수록 피크 강도는 점차적으로 감소하였고, Si함량이 15.5 at.%일 때 피크가 사라지기 시작하였다. 게다가, 피크의 형상은 Si함량이 증가함에 따라 퍼짐(broadening)현상을 보였다. 일반적으로 XRD피크의 broadening현상은 결정격자 내에서 증가된 잔류응력 또는 결정입자 크기의 감소 때문에 일어난다고 알려져 있다.

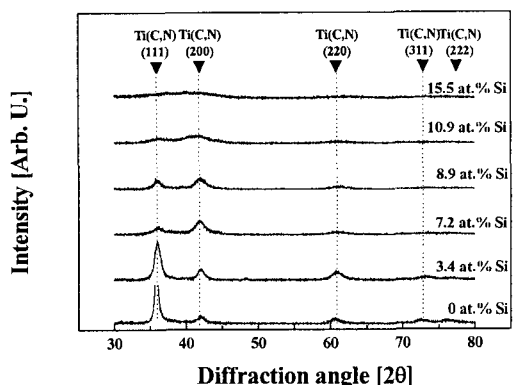


Fig. 1 The X-ray diffraction patterns of Ti-C-N and Ti-Si-C-N coatings with various Si content

그림 2는 다양한 Si함량에 따른 Si 2p 결합에너

지 근처의 XPS spectra를 보여준다. Si 2p의 결합에너지에는 101.8eV에서 화학양론적인 Si_3N_4 와 잘 부합하며, Si_3N_4 화합물에 대응하는 결합에너지 값인 101.8eV에서 피크가 관측되었을 뿐만 아니라 SiC 화합물에 대응하는 결합에너지 값인 100.4eV와 100.7eV에서 피크가 함께 관측되었다. Si 2p 피크 강도는 Si함량이 3.4 at.%~15.5 at.%로 증가함에 따라 서서히 증가하였고, SiC 화합물의 결합에너지 값(100.4eV, 100.7eV)은 감소하였다. 전체적인 Si 2p 결합에너지 값은 약간의 SiC화합물을 함유한 Si_3N_4 화합물의 피크강도를 보여준다. 그림1과 그림2의 결과로부터, Si는 Ti-Si-C-N 코팅막내에서 약간의 SiC를 함유한 Si_3N_4 상으로 주로 존재하고 있음을 알 수 있다.

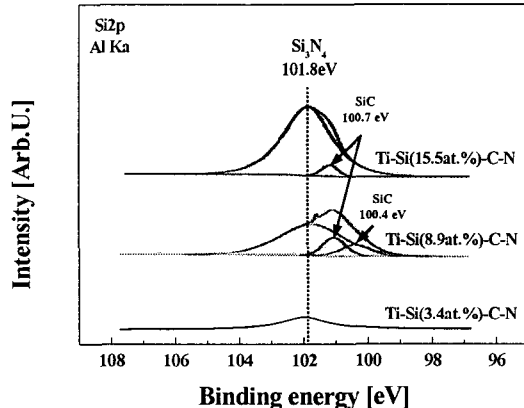


Fig. 2 XPS spectra near the binding energy of Si 2p for Ti-Si-C-N coatings with various Si content

이번 실험결과를 통해서 얻어진 Ti-Si-C-N 코팅막의 미세구조를 명백히 하기 위하여, 각각 8.9 at.%와 15.5at.%의 Si함량을 가지는 시편들의 TEM 이미지를 조사하였다. 그림 3은 각각 8.9 at.%와 15.5 at.%의 Si를 함유하는 Ti-Si-C-N 코팅막의 단면 고분해능 투과 전자현미경(HRTEM) 사진과 전자회절 패턴을 보여준다. HRTEM 사진들과 회절 패턴을 통하여 Si함량의 증가에 따른 Ti-Si-C-N 코팅막은 결정상과 비정질상이 복합적으로 형성되어 있음을 알 수 있다. 8.9 at.%의 Si함량을 가지는 Ti-Si-C-N 코팅막은 결정입자크기가 크고 주상구조를 가지는 $\text{Ti}(\text{C},\text{N})$ 결정 사이로 비정질의 $\text{Si}_3\text{N}_4/\text{SiC}$ 가 침투(percolation)하는 현상으로 인하여 입자가 미세해지며(약 8~10nm), 비정질 matrix내에 결정입자가 골고루 분포하는 나노복합체 미세구

조로 바뀐다(그림 3a). 또한, Ti-Si-C-N 코팅막내에 Si 함량이 더 증가하면 비정질상이 상대적으로 증가했음을 보여준다(그림 3b). 따라서 본 연구에서 합성한 Ti-Si-C-N 코팅막은, Si가 $\text{Ti}(\text{C},\text{N})$ 코팅막에 첨가될수록 비정질상의 Si_3N_4 (약간의 비정질상의 SiC를 함유한) matrix 내에 나노 크기의 $\text{Ti}(\text{C},\text{N})$ 결정상이 박혀 있는 나노 복합체의 미세구조를 가지는 것으로 결론 지을 수 있다.

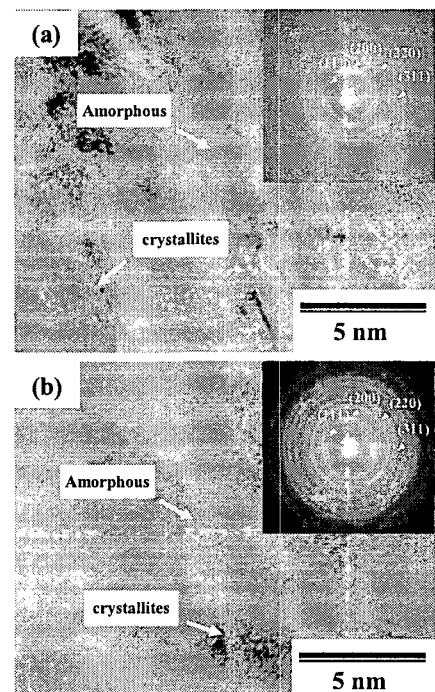


Fig. 3 Cross-sectional HRTEM images and electron diffraction patterns for Ti-Si-C-N coatings having different Si contents. (a) 8.9 at. % (b) 15.5 at. %

그림 4는 다양한 Si함량에 따른 Ti-Si-C-N 코팅막의 micro-hardness를 보여준다. Ti-Si-C-N 코팅막내에 Si함량이 증가할수록 경도값이 증가하여, Si 함량이 8.9 at.%정도일 때 약 55 GPa의 높은 경도값을 보였다. 그러나 Si함량이 8.9 at.% 이상으로 증가할수록 경도값이 다시 감소하는 경향을 보였다. $\text{Ti}(\text{C},\text{N})$ 코팅막에 Si가 첨가됨에 따라 경도가 급격하게 증가하는 요인으로는 다배향성의 미세한 $\text{Ti}(\text{C},\text{N})$ 결정립들을 균일하게 분포시키고, 미세구조적 유연성을 가지는 것으로 설명할 수 있는 비정질의 $\text{Si}_3\text{N}_4/\text{SiC}$ 에 의한 강한 결합에너지

(cohesive energy)와 Ti(C,N)결정상 사이로 비정질 $\text{Si}_3\text{N}_4/\text{SiC}$ 의 침투에 의한 결정립 크기의 미세화에 따른 결정립계 강화 (Hall-petch relation)로 설명할 수 있다. 8.9 at.%의 Si를 함유하는 Ti-Si-C-N 코팅 막은 Ti(C,N)결정상이 나노 크기로 미세화되고, 비정질상의 $\text{Si}_3\text{N}_4/\text{SiC}$ 기지(matrix)내에 균일하게 분포하기 때문에 약 55 GPa의 높은 경도값을 가진다. 이러한 미세구조적인 모델은 여러 연구자들과 S. Veprek이 제시한 나노복합체의 개념과 잘 일치한다. 그러나, 코팅막내에서 Si함량이 더욱더 증가하면 경도값은 오히려 감소하는데, 그러한 이유는 비정질상의 $\text{Si}_3\text{N}_4/\text{SiC}$ 층이 상대적으로 두꺼워져 나노결정상과 비정질상의 이상적인 나노복합체의 상호작용은 사라지고, 비정질상의 성질에 대한 영향을 크게 받게 되기 때문이다.

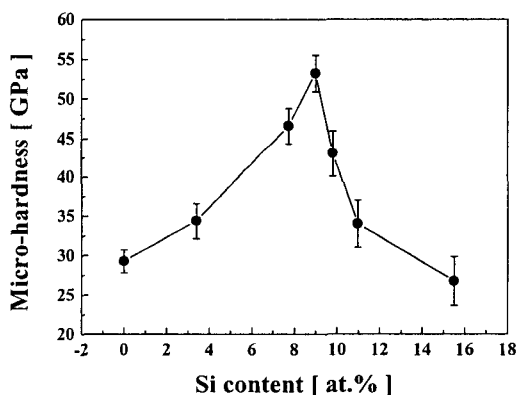


Fig. 4 The micro-hardness values of the Ti-Si-C-N coatings with various Si contents

4. 결 론

본 연구에서는 AIP와 sputtering 방법을 결합시킨 하이브리드 코팅시스템으로 WC-Co모재위에 Ti-Si-C-N 박막을 증착하였다. Si가 Ti(C,N) 코팅막에 첨가될수록, 8.9 at.%의 Si를 함유하는 Ti-Si-C-N 박막은 약 55 GPa의 높은 경도값을 보였다. XRD, XPS, HRTEM등의 분석 결과로부터, 4성분계 Ti-Si-C-N 코팅막은 고용체 나노크기의 Ti(C,N)결정상과 비정질상 $\text{Si}_3\text{N}_4/\text{SiC}$ 의 나노복합체로 이루어 졌음을 알 수 있었다. 이는 Ti(C,N) 코팅막에 첨가된 Si는 비정질상의 $\text{Si}_3\text{N}_4/\text{SiC}$ 의 침투현상을 발생시켜

Ti(C,N) 결정립을 미세하게 하고 그 결정립을 고르게 분포시키는 역할을 하였다. 그러나 Si가 8.9 at.%이상으로 증가하면, 나노 크기의 결정상과 비정질상의 이상적인 나노복합체의 상호작용은 사라지고, 비정질상 $\text{Si}_3\text{N}_4/\text{SiC}$ 의 영향을 크게 받게 되어 경도값은 오히려 감소하였다. Si함량이 8.9 at.%정도일 때 약 55 GPa의 최고경도를 보이는 Ti-Si-C-N 코팅막의 미세구조는 나노 크기의 Ti(C,N) 결정상(약8~10nm)이 비정질상의 Si_3N_4 (약간의 SiC를 함유하는) matrix내에 분산된 나노 복합체임을 보였다.

후 기

본 연구는 과학기술부(MOST)의 지원을 받은 국가기정연구실사업(NRL)지원으로 수행되었으며, 이에 감사드립니다.

참 고 문 헌

- [1] L.F. Senna, C.A. Achete, T. Hirsch, F.L. Freire Jr., 1997, Structural, chemical, mechanical and corrosion resistance characterization of TiCN coatings prepared by magnetron sputtering, *Surf. Coat. Technol.*, Vol 94-95, pp. 390~397.
- [2] P. Huber, D. Manova, S. Mandl, B. Rauschenbach, 2003, Formation of TiN, TiC and TiCN by metal plasma immersion ion implantation and deposition, *Surf. Coat. Technol.*, Vol 174-175, pp. 1243~1247.
- [3] L. Karlsson, L. Hultman, M.P. Johansson, J.-E. Sundgren, H. Ljungcrantz, 2000, Growth, microstructure, and mechanical properties of arc evaporated $\text{TiC}_x\text{N}_{1-x}$ ($0 \leq x \leq 1$) films, *Surf. Coat. Technol.*, Vol 126, pp. 1~14.
- [4] S. Veprek, 1999, The search for novel, superhard materials, *J. Vac. Sci. Technol. A*, Vol 17 (5), pp. 2401~2420.
- [5] J. Patschneider, T. Zehnder, M. Diserens, 2001, Structure–performance relations in nanocomposite coatings, *Surf. Coat. Technol.*, Vol 146-147, pp. 201~208.